

无锡泰连芯科技有限公司

**TLX2901V 型**

**四通道 开漏输出通用高压比较器**

**2024 年 06 月**

# 四通道、开漏输出、通用高压比较器

## 1 特性

- 工作电压范围: **3.3V ~ 32V**
- 工作电流: **760µA (典型值) (当  $V_s = 5V$  时)**
- 共模输入电压范围包含地电位
- 低输出饱和电压
- 开漏输出, 实现最大灵活性
- 最高工作温度: **+125°C**
- 封装: **SOP14、TSSOP14**

## 2 应用

- 滞回比较器
- 工厂自动化 & 控制
- 工业设备
- 测试、计量设备
- 电动工具
- 机器人
- 无线基础设施

## 3 概述

**TLX2901V** 是四通道比较器, 输出可以连接到其他开路集电极输出, 以实现线与功能。它可以在 **3.3V** 到 **32V** 之间工作, 每通道功耗低至 **760µA (典型值)**。

**TLX2901V** 由四个电压比较器组成, 可在较宽的单电源范围下工作, 且其静态电流与电源电压无关。对于要求低失调电压、高供电电压、低供电电流和节省空间的便携式消费产品电路设计, 该器件是性价比最高的解决方案。

**TLX2901V** 采用 **SOP14, TSSOP14** 封装。工作温度范围在 **-55°C** 至 **+125°C**。

质量等级: 军温级&**N1**级

### 器件信息<sup>(1)</sup>

型号	封装	封装尺寸 (标称值)
TLX2901V	SOP14	8.65mm×3.90mm
	TSSOP14	5.00mm×4.40mm

(1) 详细的订单型号说明, 请参考数据表后的封装选项部分。

## 目录

1 特性 .....	2
2 应用 .....	2
3 概述 .....	2
4 修订历史 .....	4
5 封装和订单说明 <sup>(1)</sup> .....	5
6 引脚定义和功能 .....	6
7 规格 .....	7
7.1 绝对最大额定参数 .....	7
7.2 ESD 等级 .....	7
7.3 推荐工作条件 .....	7
7.4 典型电气参数 .....	8
7.5 典型参数曲线 .....	9
8 详细说明 .....	13
9 应用与设计 .....	14
9.1 应用说明 .....	14
9.2 典型应用电路 .....	14
9.3 设计注意事项 .....	14
9.4 共模输入电压范围 .....	14
10 PCB 版图设计 .....	15
10.1 PCB 布局设计注意事项 .....	15
10.2 PCB 布局示意图 .....	15
11 封装规格尺寸 .....	16
12 包装规格尺寸 .....	18

## 4 修订历史

注意: 更新前的版本页码可能与当前版本不同。

版本	更新日期	变更项目
A.0	2024/10/11	初始版
A.1	2025/03/24	正式版

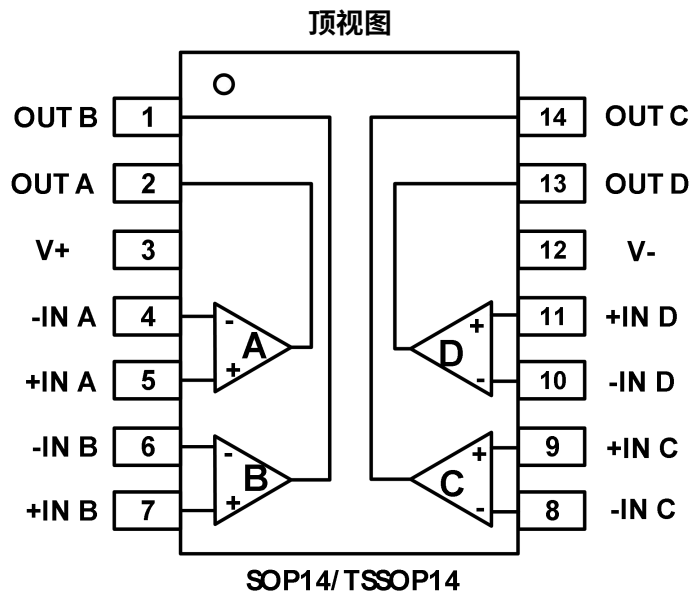
## 5 封装和订单说明<sup>(1)</sup>

订购型号	温度等级	封装类型	丝印 <sup>(2)</sup>	MSL	质量等级
JTLX2901VXP	-55 °C ~+125 °C	SOP14	TLX2901V	MSL1/3	N1/军温级
JTLX2901VXQ	-55 °C ~+125 °C	TSSOP14	TLX2901V	MSL1/3	N1/军温级
TLX2901VXP	-40 °C ~+125 °C	SOP14	TLX2901V	MSL1/3	工业级
TLX2901VXQ	-40 °C ~+125 °C	TSSOP14	TLX2901V	MSL1/3	工业级

注意:

- (1) 该信息是当前版本的最新数据。这些数据如有更新, 将及时更新到我司官网, 恕不另行通知。
- (2) 丝印可能会有其他附加的代码, 用于产品的内控追溯 (包括数据代码和供应商代码) 或者标志产地。
- (3) **TLXIC** 装配厂使用符合 **JEDEC** 工业标准 **J-STD-20F** 的通用预处理设置对 **MSL** 级别进行分类。如果您的最终应用对预处理设置非常关键, 或者您有特殊要求, 请与 **TLXIC** 技术支持联系。

## 6 引脚定义和功能



### 引脚功能

引脚名称	引脚	I/O <sup>(1)</sup>	功能说明
	SOP14/TSSOP14		
OUTB	1	O	B 通道输出
OUTA	2	O	A 通道输出
V+	3	P	正电源（或高电压）供电脚
-INA	4	I	A 通道反相输入脚
+INA	5	I	A 通道同相输入脚
-INB	6	I	B 通道反相输入脚
+INB	7	I	B 通道同相输入脚
-INC	8	I	C 通道反相输入脚
+INC	9	I	C 通道同相输入脚
-IND	10	I	D 通道反相输入脚
+IND	11	I	D 通道同相输入脚
V-	12	P	负电源（或低电压）供电脚
OUTD	13	O	D 通道输出
OUTC	14	O	C 通道输出

(1) I=输入管脚, O=输出管脚, P=供电管脚。

## 7 规格

### 7.1 绝对最大额定参数

在自然通风温度范围内（除非特别注明）<sup>(1)</sup>

		最小值	最大值	单位
电压参数	工作电压, $V_s = (V+) - (V-)$		36	V
	输入引脚 (IN+, IN-)	(V-) - 0.3	(V+) + 0.3	
	输出引脚	(V-) - 0.3	(V+) + 0.3	
电流参数	输入引脚 (IN+, IN-)		-10	mA
	输出引脚		55	mA
	输出短路电流 <sup>(2)</sup>	持续		
$\theta_{JA}$	结至环境热阻 <sup>(3)</sup>	SOP14	105	°C/W
		TSSOP14	90	
温度参数	自然通风条件下的工作温度范围, $T_A$		-55	125
	结温, $T_J$ <sup>(4)</sup>		-55	150
	储存温度范围, $T_{stg}$		-65	150

- (1) 这里只表示产品在测试条件下得到的极限值，并不表示产品在这些条件下或者其他超出规格限定的参数条件下能够正常工作，超过上述绝对最大额定值所规定的范围将对产品造成损害，无法预测产品在上述条件外的工作状态。如果产品长期在上述条件外的条件下工作，可能影响产品性能。
- (2) 输出对电源短路时会导致过热并对芯片造成永久损坏，故无法测试极限值。
- (3) 封装热阻抗根据 **JESD-51** 标准计算。
- (4) 最大功耗是有关  $T_{J(MAX)}$ 、 $R_{\theta JA}$  和  $T_A$  的函数。任意环境温度下的最大功耗为  $P_D = (T_{J(MAX)} - T_A) / R_{\theta JA}$ 。适用于直接焊接到 **PCB** 上的封装。

### 7.2 ESD 等级

以下 **ESD** 信息仅针对在防静电保护区内操作的敏感设备。

			标称值	单位
$V_{(ESD)}$	静电放电	人体模型 (HBM), 符合 <b>ANSI/ESDA/JEDEC JS001-2023</b> 规范	±2000	V
		带电器件模型 (CDM), 符合 <b>ANSI/ESDA/JEDEC JS-002-2022</b> 规范	±1000	



#### ESD 灵敏性警告

**ESD** 损坏的范围可以从细微的性能下降到完全的设备失效。精密集成电路可能更容易受到损坏，因为非常小的参数变化有可能导致器件不符合其公布的参数规格。

### 7.3 推荐工作条件

在自然通风温度范围内（除非特别注明）

		最小值	典型值	最大值	单位
工作电压范围, $V_s = (V+) - (V-)$	单电源供电	3.3		32	V
	双电源供电	±1.65		±16	

## 7.4 典型电气参数

( 测试条件为:  $T_A = +25^\circ\text{C}$ ,  $V_{CM} = (V_s/2)$ ,  $V_s = 5\text{V}$ , 全温  $= -55^\circ\text{C} \sim +125^\circ\text{C}$ , 除非特别注明 ) <sup>(1)</sup>

参数		测试条件	TLX2901V			单位
			最小值 (2)	典型值 (3)	最大值 (2)	
$V_s$	工作电压范围		3.3		32	V
$I_Q$	静态工作电流	$V_s = 5\text{V}$ , 无负载		760	1100	$\mu\text{A}$
		$V_s = 32\text{V}$ , 无负载, 全温			1500	
$V_{os}$	输入失调电压	$V_s = 3.3\text{V to } 32\text{V}$	-3.5	$\pm 0.5$	3.5	$\text{mV}$
		$V_s = 3.3\text{V to } 32\text{V}$ , 全温	-4		4	
$I_B$	输入偏置电流 <sup>(4)(5)</sup>	$T_A = 25^\circ\text{C}$		10	50	pA
		全温			50	nA
$I_{os}$	输入失调电流 <sup>(4)</sup>	$T_A = 25^\circ\text{C}$		10	50	pA
		全温			50	nA
$V_{CM}$	共模输入电压范围 <sup>(6)</sup>	$V_s = 3.3\text{V to } 32\text{V}$	(V-)		$(V+)-1.5$	V
		$V_s = 3.3\text{V to } 32\text{V}$ , 全温	(V-)		$(V+)-2.0$	
$A_{vD}$	大信号差分电压增益	$V_s = 15\text{V}, V_o = 1.4\text{V to } 11.4\text{V}, R_L \geq 15\text{k to } (V+)$	20	100		V/mV
$V_{OL}$	低电平输出电压	$I_{sink} \leq 4\text{mA}, V_{ID} = -1\text{V}$		200	300	$\text{mV}$
		$I_{sink} \leq 4\text{mA}, V_{ID} = -1\text{V}$ , 全温			400	
$I_{OL}$	输出电流 (灌电流)	$V_o = 1.5\text{V}; V_{ID} = -1\text{V}$	18	28		mA
$I_{OH-LKG}$	输出高电平漏电流	$(V+) = V_o = 5\text{V}; V_{ID} = 1\text{V}$		2	50	nA
		$(V+) = V_o = 32\text{V}; V_{ID} = 1\text{V}$		30	500	nA

### 动态参数

$T_{PHL}$	输出由高到低传输延迟 <sup>(7)</sup>	$V_s = 5\text{V}$	$RPU = 5.1\text{K}\Omega$ , 过驱动电压 = $10\text{mV}$		0.5		$\mu\text{s}$
			$RPU = 5.1\text{K}\Omega$ , 过驱动电压 = $100\text{mV}$		0.26		
		$V_s = 32\text{V}$	$RPU = 5.1\text{K}\Omega$ , 过驱动电压 = $10\text{mV}$		0.45		
			$RPU = 5.1\text{K}\Omega$ , 过驱动电压 = $100\text{mV}$		0.25		
$T_{PLH}$	输出由低到高传输延迟 <sup>(7)</sup>	$V_s = 5\text{V}$	$RPU = 5.1\text{K}\Omega$ , 过驱动电压 = $10\text{mV}$		0.9		$\mu\text{s}$
			$RPU = 5.1\text{K}\Omega$ , 过驱动电压 = $100\text{mV}$		0.65		
		$V_s = 32\text{V}$	$RPU = 5.1\text{K}\Omega$ , 过驱动电压 = $10\text{mV}$		0.8		
			$RPU = 5.1\text{K}\Omega$ , 过驱动电压 = $100\text{mV}$		0.6		

注意:

- (1) 该表仅代表指定温度下及工厂测试条件下的产品参数。工厂测试条件下, 产品的自热非常有限。
- (2) 极限值是在  $25^\circ\text{C}$  条件下进行的 **100%** 生产测试。通过使用统计质量控制 (SQC) 方法的相关性来确保工作温度范围的限制。
- (3) 典型值表示在表征时确定的最可能的参数规范。实际典型值可能随时间变化, 也将取决于应用和配置。
- (4) 该参数由设计和/或特性确保, 未在生产中进行测试。
- (5) 正电流对应于流入设备的电流。
- (6) 输入电压或共模电压的负值不应超过  $0.3\text{V}$ 。共模电压范围的上限为  $(V+) - 1.5\text{V}$ ; 但是, 一个输入可以超过  $V_s$ , 只要另一个输入保持在共模范围内, 比较器就会提供适当的输出状态。任何一个或两个输入都可以达到  $32\text{V}$  而不会损坏。
- (7) 由高到低和由低到高指的是输入处的转换。

## 7.5 典型参数曲线

注意：本说明后面提供的图表和表格是基于有限数量样本的统计摘要，仅供参考。

测试条件为： $T_A = +25^\circ\text{C}$ ,  $V_S = 5\text{V}$ ,  $R_{PULLUP} = 5.1\text{k}$ ,  $V_{CM} = V_S/2$ ,  $C_L = 15\text{pF}$ , 除非特别注明。

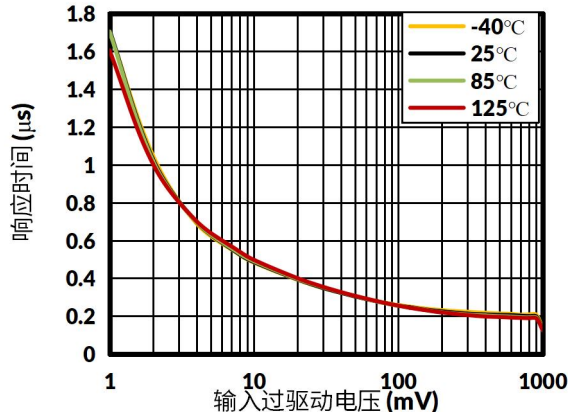


图 1. 响应时间与输入过驱动电压的关系  
(负向跳变, 5V)

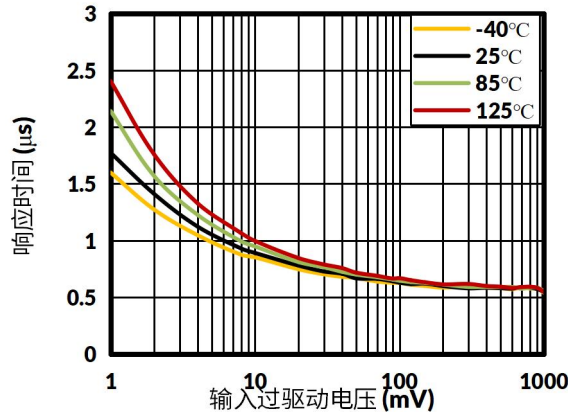


图 2. 响应时间与输入过驱动电压的关系  
(正向跳变, 5V)

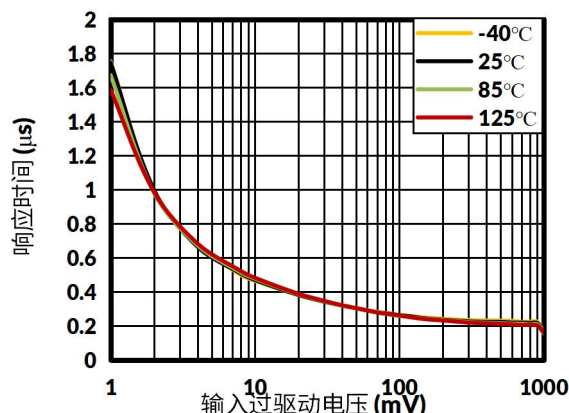


图 3. 响应时间与输入过驱动电压的关系  
(负向跳变, 12V)

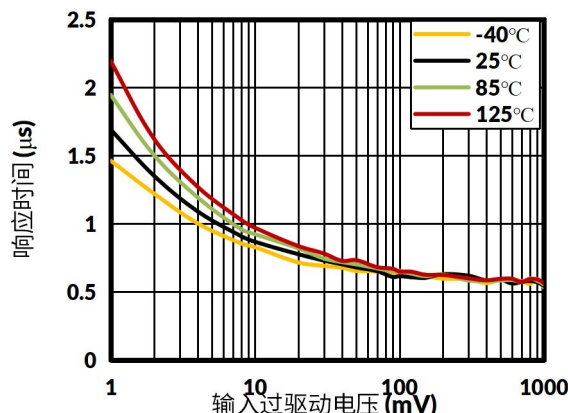


图 4. 响应时间与输入过驱动电压的关系  
(正向跳变, 12V)

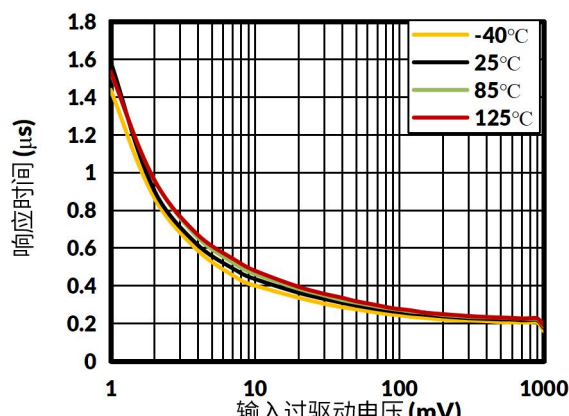


图 5. 响应时间与输入过驱动电压的关系  
(负向跳变, 32V)

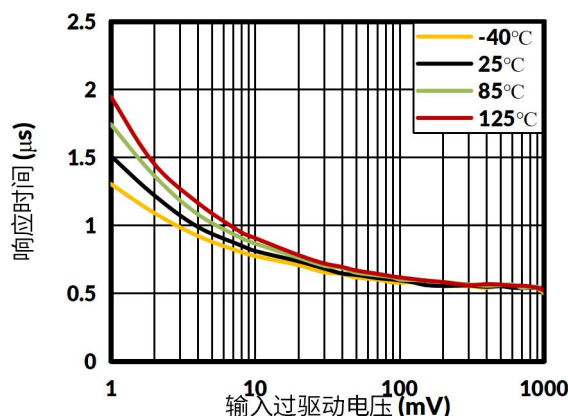


图 6. 响应时间与输入过驱动电压的关系  
(正向跳变, 32V)

## 典型参数曲线

注意：本说明后面提供的图表和表格是基于有限数量样本的统计摘要，仅供参考。

测试条件为： $T_A = +25^\circ\text{C}$ ,  $V_S = 5\text{V}$ ,  $R_{PULLUP} = 5.1\text{k}$ ,  $V_{CM} = V_S/2$ ,  $C_L = 15\text{pF}$ , 除非特别注明。

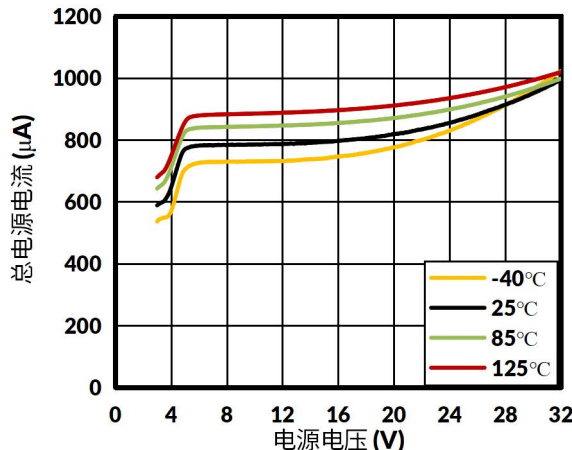


图 7. 总电源电流与电源电压的关系

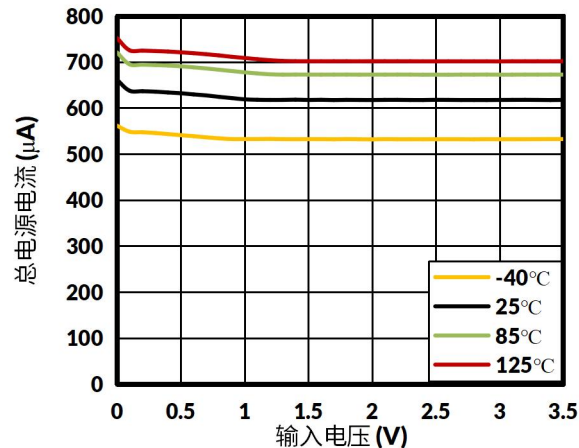


图 8. 总电源电流与输入电压的关系, 5V

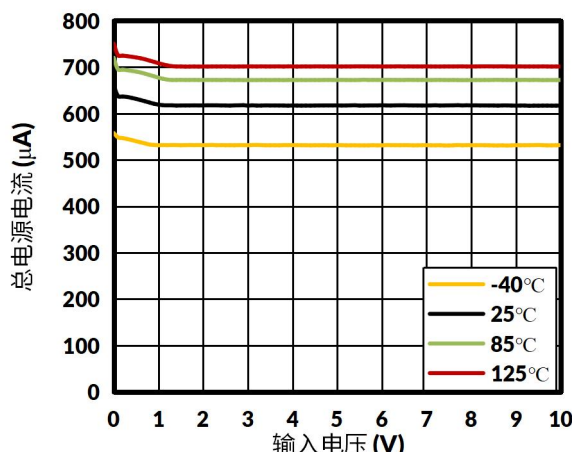


图 9. 总电源电流与输入电压的关系, 12V

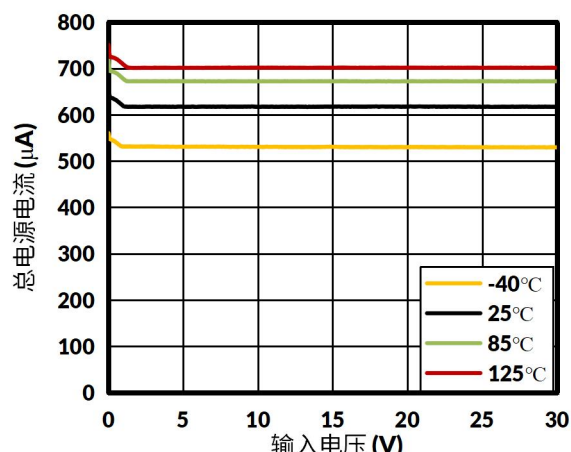


图 10. 总电源电流与输入电压的关系, 32V

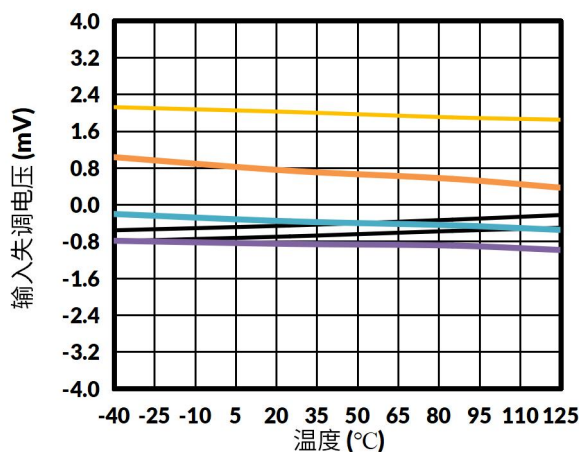


图 11. 输入失调电压与温度的关系, 5V

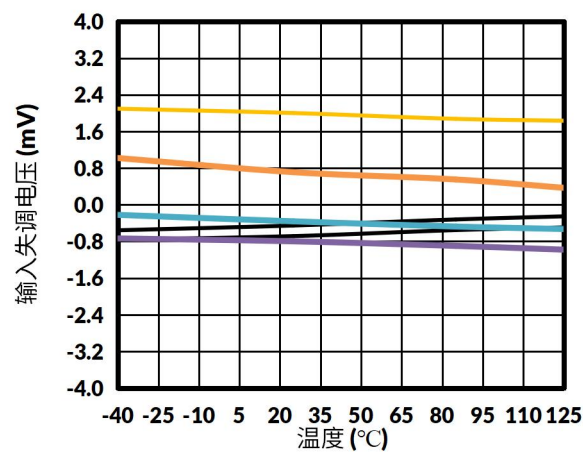


图 12. 输入失调电压与温度的关系, 12V

## 典型参数曲线

注意：本说明后面提供的图表和表格是基于有限数量样本的统计摘要，仅供参考。

测试条件为： $T_A = +25^\circ\text{C}$ ,  $V_S = 5\text{V}$ ,  $R_{\text{PULLUP}} = 5.1\text{k}$ ,  $V_{\text{CM}} = V_S/2$ ,  $C_L = 15\text{pF}$ , 除非特别注明。

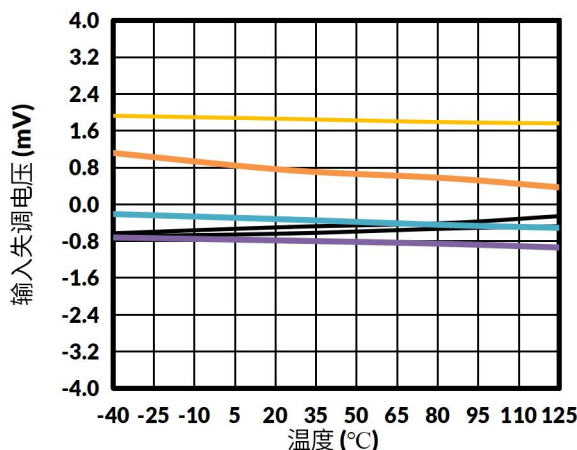


图 13. 输入失调电压与温度的关系, 32V

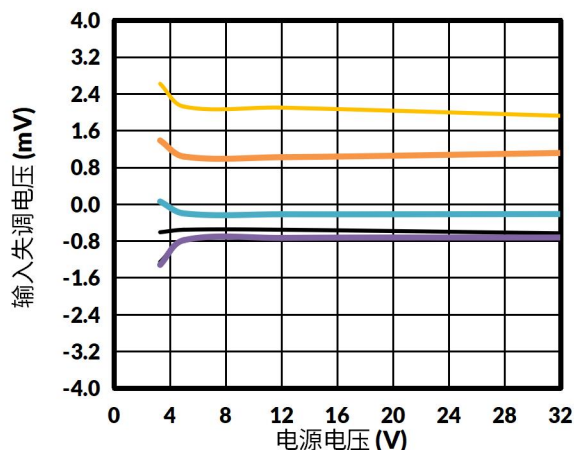


图 14. 输入失调电压与电源电压的关系,  $-40^\circ\text{C}$

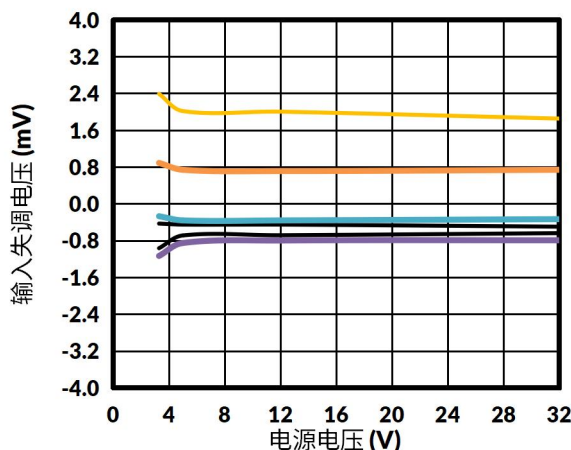


图 15. 输入失调电压与电源电压的关系,  $25^\circ\text{C}$

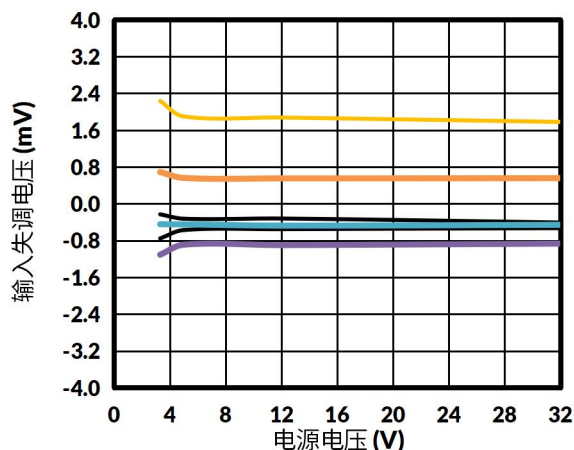


图 16. 输入失调电压与电源电压的关系,  $85^\circ\text{C}$

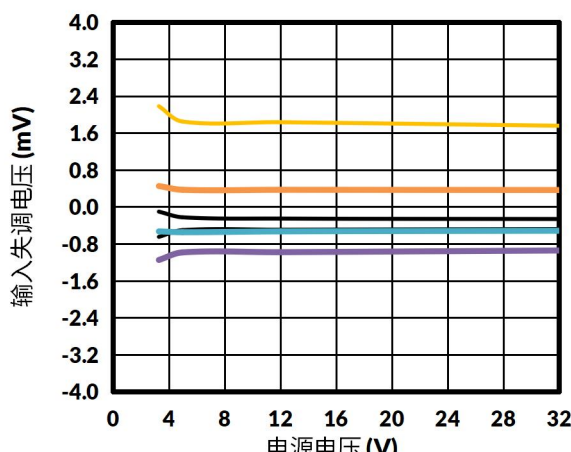


图 17. 输入失调电压与电源电压的关系,  $125^\circ\text{C}$

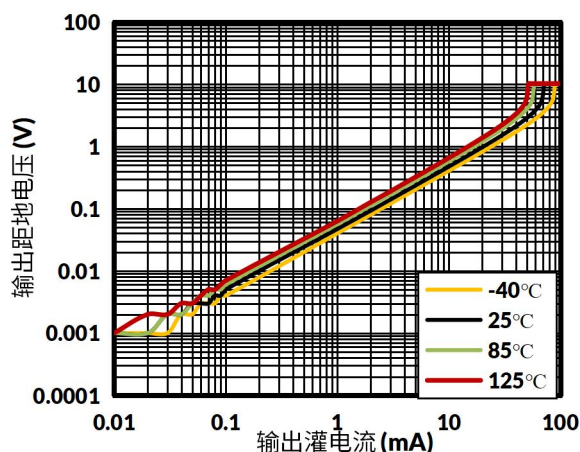


图 18. 输出低电压与输出灌电流的关系, 5V

## 典型参数曲线

注意：本说明后面提供的图表和表格是基于有限数量样本的统计摘要，仅供参考。

测试条件为： $T_A = +25^\circ\text{C}$ ,  $V_S = 5\text{V}$ ,  $R_{PULLUP} = 5.1\text{k}$ ,  $V_{CM} = V_S/2$ ,  $C_L = 15\text{pF}$ , 除非特别注明。

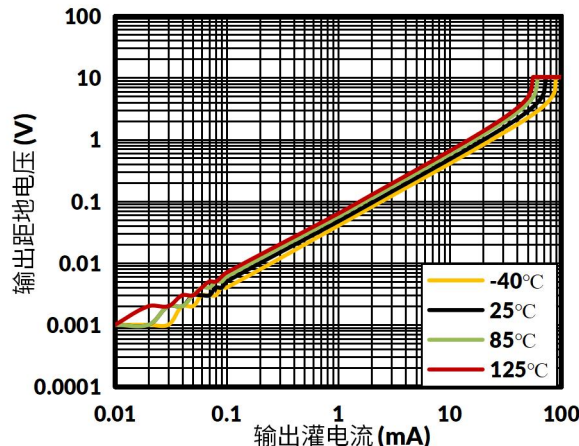


图 19. 输出低电压与输出灌电流的关系, 12V

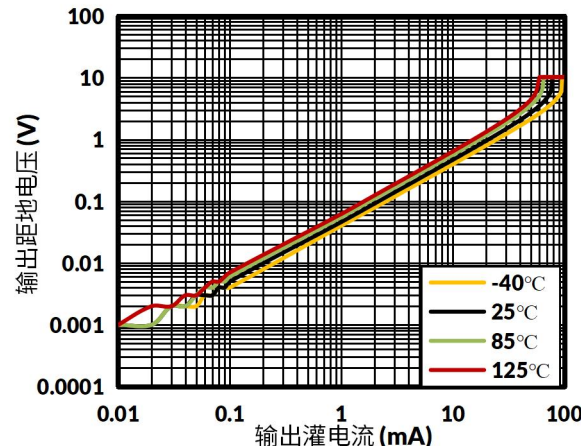


图 20. 输出低电压与输出灌电流的关系, 32V

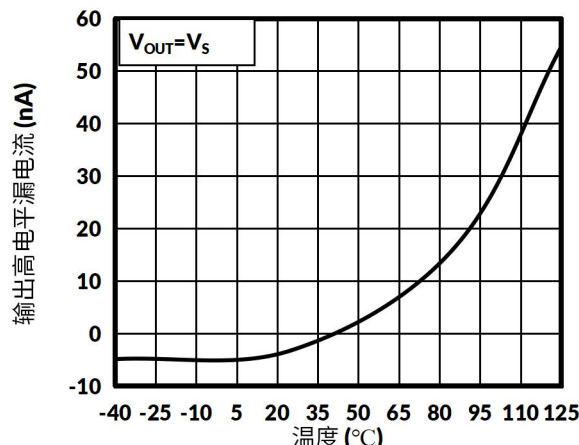


图 21. 输出高电平漏电流与温度的关系, 5V

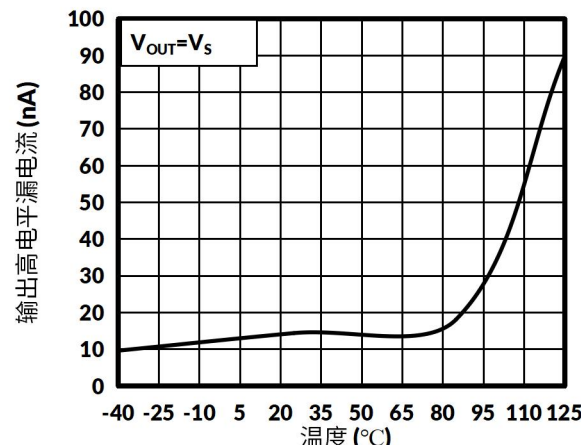


图 22. 输出高电平漏电流与温度的关系, 32V

## 8 详细说明

TLX2901V 系列比较器最高工作电压可以到 32V。该标准器件凭借低功耗与高速度特性，已在广泛应用中验证其普适性与多功能性。其开漏输出结构可以配置输出逻辑低电平，实现比较器的线与逻辑功能。

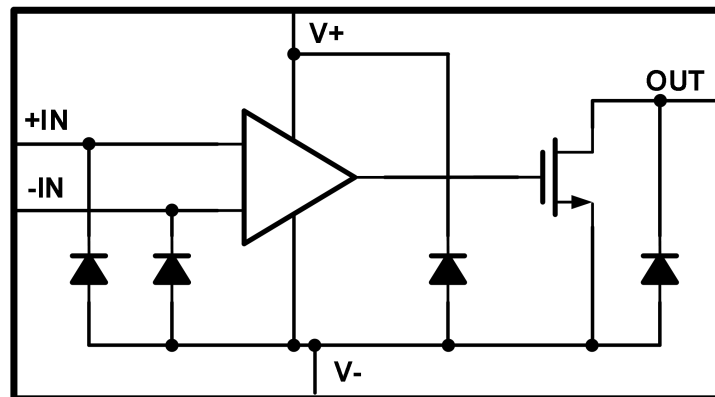


图 23. 功能框图

## 9 应用与设计

以下应用设计部分中的信息不属于 **TLXIC** 器件规格的范围, **TLXIC** 不保证其准确性和完整性。**TLXIC** 的客户应负责确定器件是否适用于其应用。客户应验证并测试其设计, 以确保系统功能。

### 9.1 应用说明

**TLX2901V** 的典型应用是一个输入信号与一个参考电压做比较或者两个信号之间做大小比较。许多设计利用开漏输出 (高电平靠上拉电阻实现) 将比较器的逻辑输出接到 **MCU** 或者其他逻辑器件来实现逻辑电平的匹配, 加上宽工作电压范围和高耐压能力, 使该比较器能够非常理想地实现逻辑电平的转换, 以匹配不同的系统工作电压。

### 9.2 典型应用电路

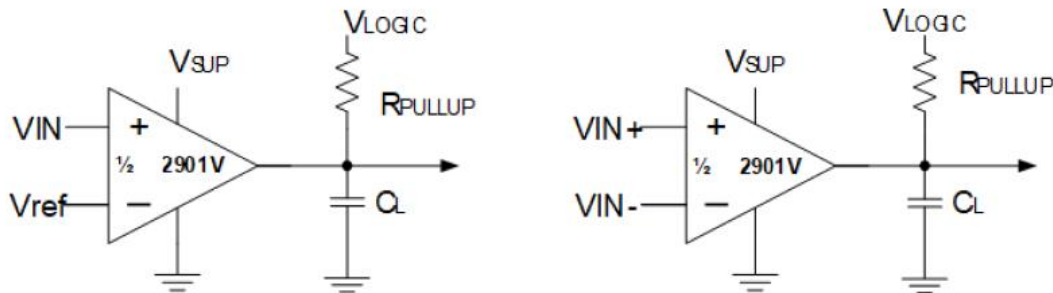


图 24. 单端和差分输入配置电路

### 9.3 设计注意事项

当使用 **TLX2901V** 作为通用比较器设计时, 请确认以下内容:

- 输入电压范围
- 最小过驱动电压
- 输出和驱动电流
- 响应时间

### 9.4 共模输入电压范围

当选择输入电压范围时, 首先要考虑共模电压输入范围参数 ( $V_{ICR}$ )。如果工作温度低于  $25^{\circ}\text{C}$ ,  $V_{ICR}$  将输入电压范围限制在最高  $V_{cc}-2.0\text{V}$  至最低  $0\text{V}$  之间。超出此范围工作可能导致比较结果错误。以下是不同输入电压情况及对应输出状态的说明:

1. 当 **IN-** 和 **IN+** 均处于共模范围内时:
  - a. 若 **IN-** 高于 **IN+** 且超过失调电压, 则输出为低电平, 输出晶体管处于灌电流状态。
  - b. 若 **IN-** 低于 **IN+** 且超过失调电压, 则输出为高阻抗状态, 输出晶体管不导通。
2. 当 **IN-** 超出共模范围而 **IN+** 处于共模范围内时, 输出为低电平, 输出晶体管处于灌电流状态。
3. 当 **IN+** 超出共模范围而 **IN-** 处于共模范围内时, 输出为高阻抗状态, 输出晶体管不导通。
4. 当 **IN-** 和 **IN+** 均超出共模范围时, 输出状态不确定。不建议在此输入电压条件下工作。

## 10 PCB 版图设计

### 10.1 PCB 布局设计注意事项

在没有迟滞的精确比较器应用中，务必保持电源稳定，并将噪声和短时脉冲波干扰降至最低，这一点十分重要。最佳做法是在电源电压和接地之间添加一个旁路电容器。这可以在正电源和负电源（如果可用）上实现。如果未使用负电源，则不要在 IC 的 **GND** 引脚和系统接地之间放置电容器。尽量减少输出和反相输入之间的耦合，以防止输出振荡。除非输出和反相输入引线之间存在 **V<sub>cc</sub>** 或 **GND** 引线，否则请勿并行布置输出和反相输入引线，以减少耦合。向输入端添加串联电阻时，将电阻器放在靠近器件的位置。

### 10.2 PCB 布局示意图

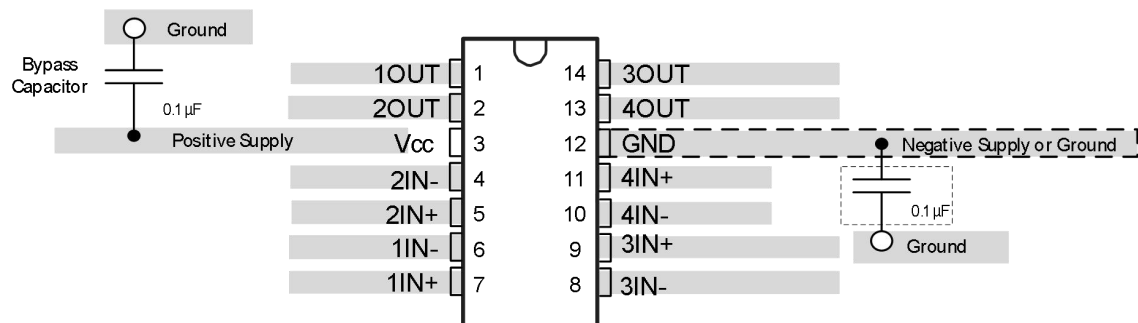
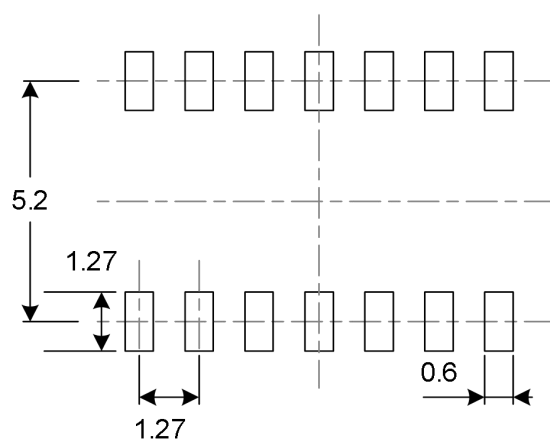
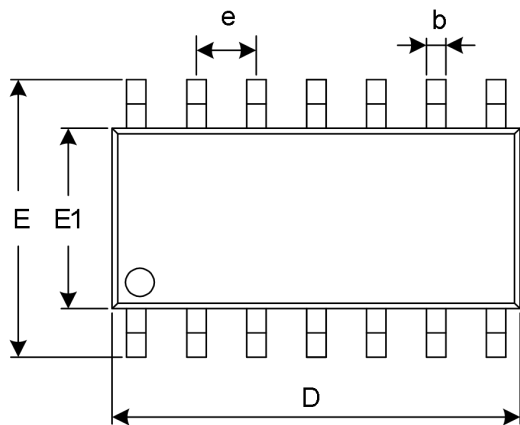


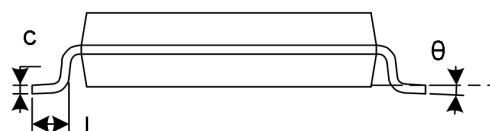
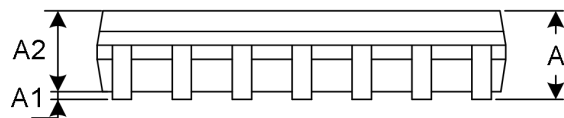
图 25. TLX2901V PCB 布局示例

## 11 封装规格尺寸

SOP14<sup>(3)</sup>



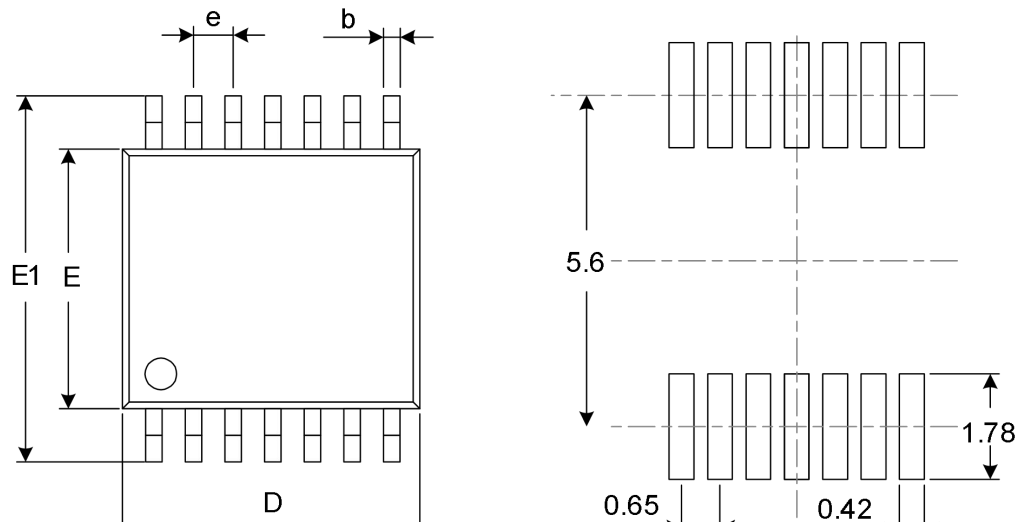
推荐焊盘尺寸 (单位: 毫米)



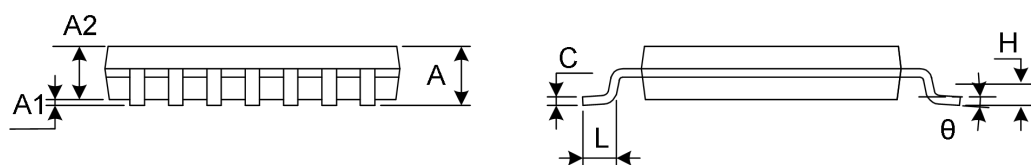
符号	尺寸 (单位: 毫米)		尺寸 (单位: 英寸)	
	最小值	最大值	最小值	最大值
A <sup>(1)</sup>	1.350	1.750	0.053	0.069
A1	0.100	0.250	0.004	0.010
A2	1.350	1.550	0.053	0.061
b	0.310	0.510	0.012	0.020
c	0.100	0.250	0.004	0.010
D <sup>(1)</sup>	8.450	8.850	0.333	0.348
e	1.270(BSC) <sup>(2)</sup>		0.050(BSC) <sup>(2)</sup>	
E	5.800	6.200	0.228	0.244
E1 <sup>(1)</sup>	3.800	4.000	0.150	0.157
L	0.400	1.270	0.016	0.050
θ	0°	8°	0°	8°

注意:

1. 不包括每侧最大 0.15mm 的塑封料或金属突起。
2. BSC (基本中心间距), “基本”间距为标称间距。
3. 本图如有更改, 恕不另行通知。

TSSOP14<sup>(3)</sup>

推荐焊盘尺寸 (单位: 毫米)



符号	尺寸 (单位: 毫米)		尺寸 (单位: 英寸)	
	最小值	最大值	最小值	最大值
A <sup>(1)</sup>		1.200		0.047
A1	0.050	0.150	0.002	0.006
A2	0.800	1.050	0.031	0.041
b	0.190	0.300	0.007	0.012
c	0.090	0.200	0.004	0.008
D <sup>(1)</sup>	4.860	5.100	0.191	0.201
E <sup>(1)</sup>	4.300	4.500	0.169	0.177
E1	6.250	6.550	0.246	0.258
e	0.650(BSC) <sup>(2)</sup>		0.026(BSC) <sup>(2)</sup>	
L	0.500	0.700	0.020	0.028
H	0.25(TYP)		0.01(TYP)	
θ	1°	7°	1°	7°

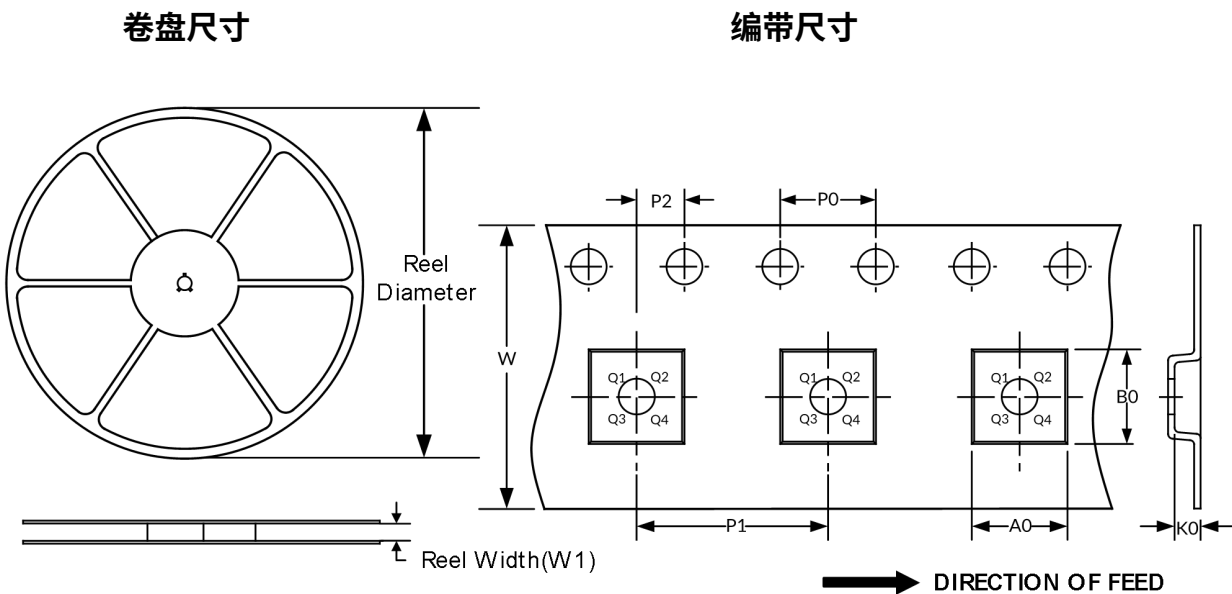
注意:

1. 不包括每侧最大 0.15mm 的塑封料或金属突起。

2. BSC (基本中心间距) , “基本”间距为标称间距。

3. 本图如有更改, 恕不另行通知。

## 12 包装规格尺寸



注意：图片仅供参考。请以实物为标准。

### 关键参数表

Package Type	Reel Diameter	Reel Width (mm)	A0 (mm)	B0 (mm)	K0 (mm)	P0 (mm)	P1 (mm)	P2 (mm)	W (mm)	Pin1 Quadrant
SOP14	13"	16.4	6.60	9.30	2.10	4.0	8.0	2.0	16.0	Q1
TSSOP14	13"	12.4	6.95	5.60	1.20	4.0	8.0	2.0	12.0	Q1

注意：

- 所有尺寸均为标称尺寸。
- 不包括每边最大 **0.15** 毫米的塑封料或金属突起。